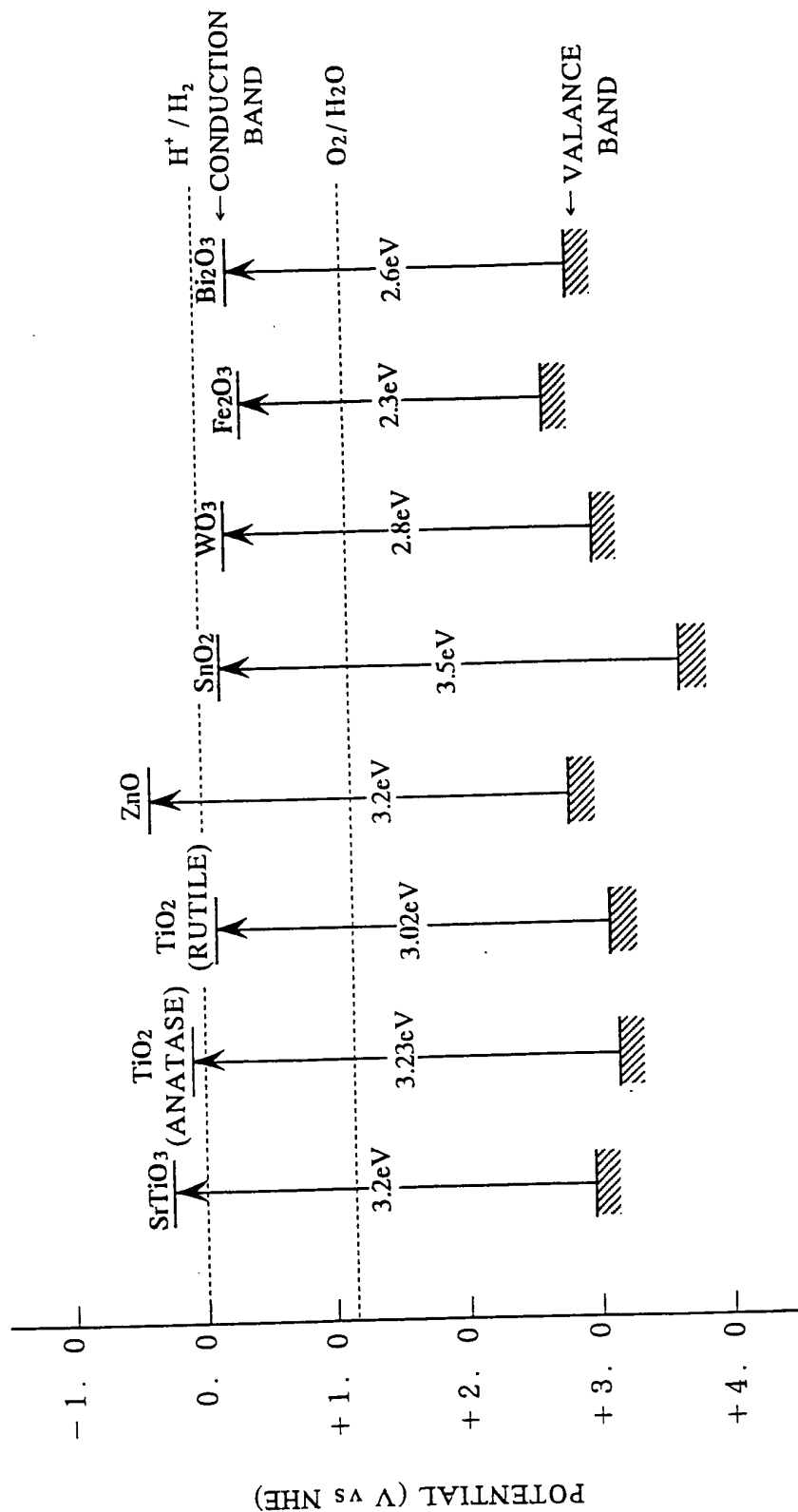


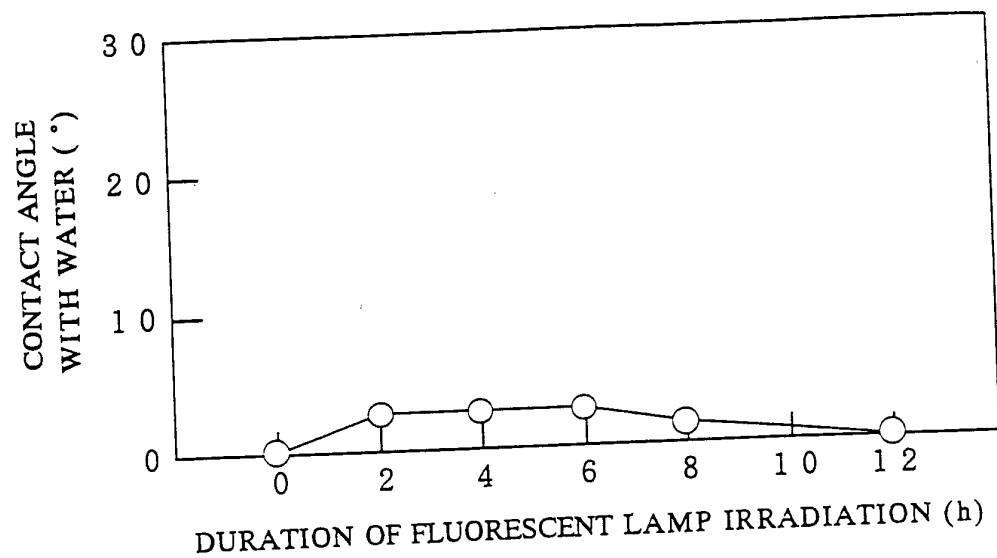
FIG. 1



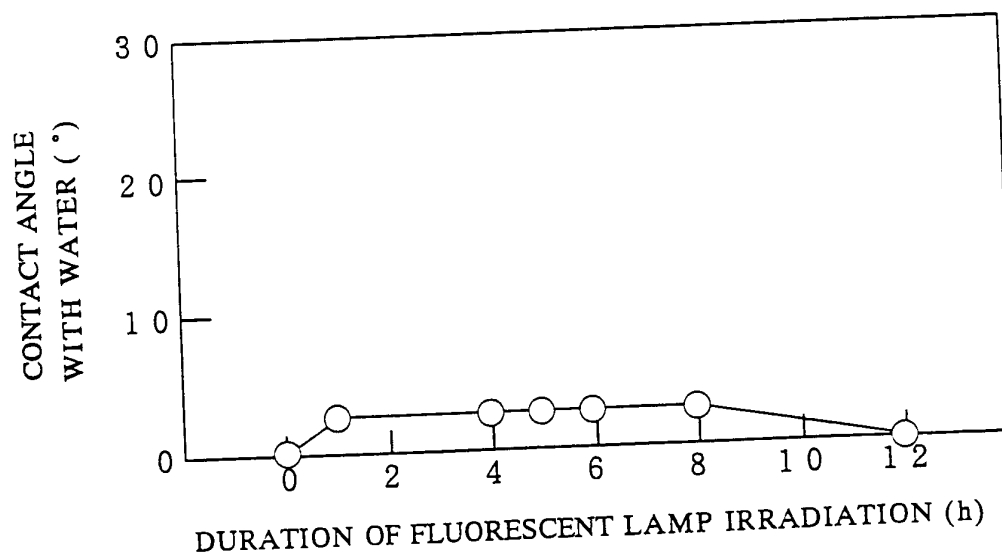




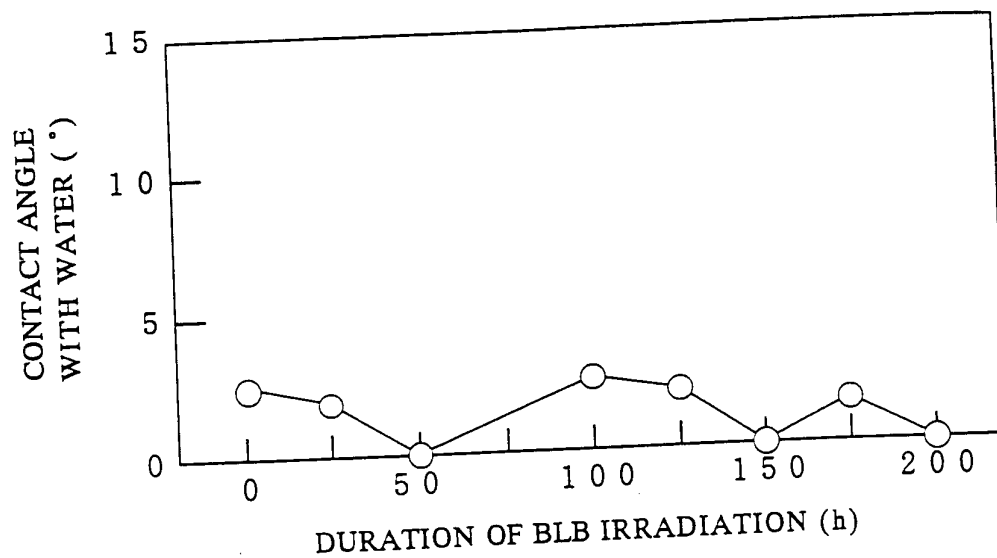
*FIG. 3*



*FIG. 4*



*FIG. 5*



*FIG. 6*

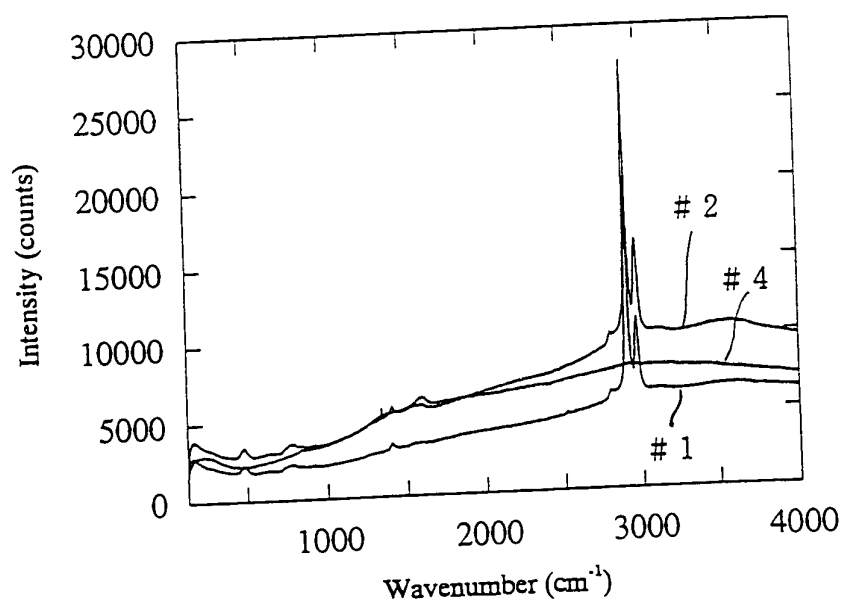


FIG. 7

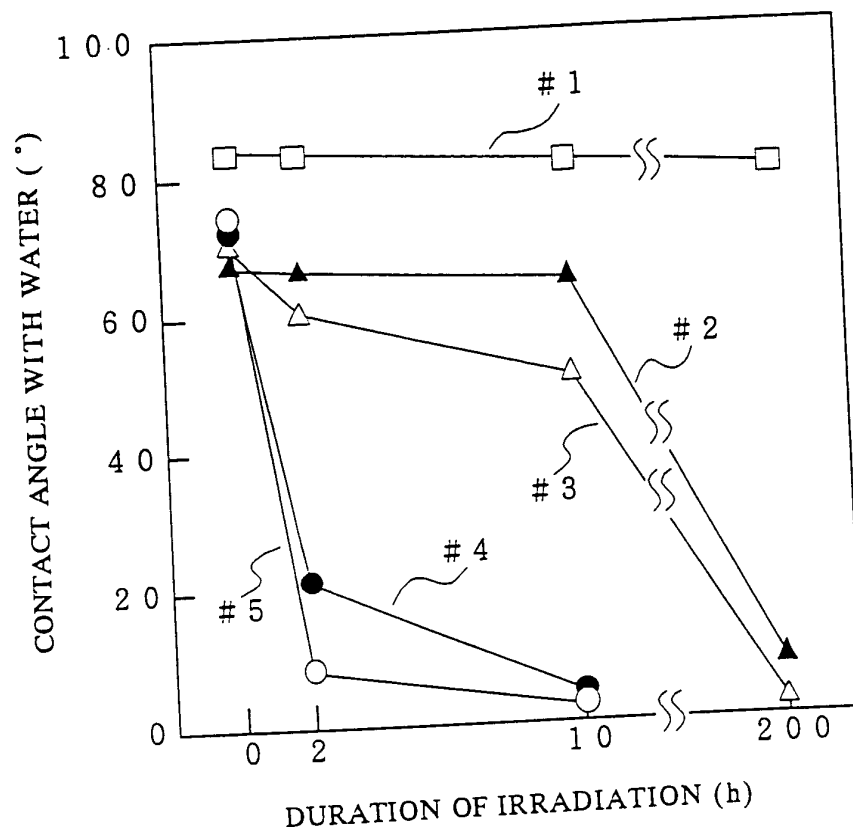


FIG. 8

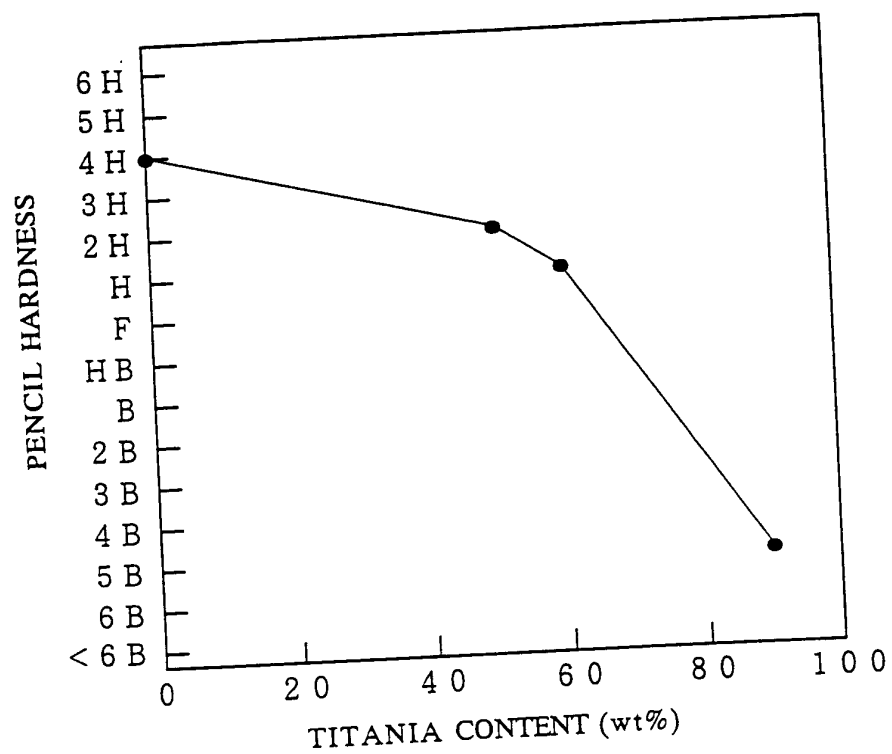
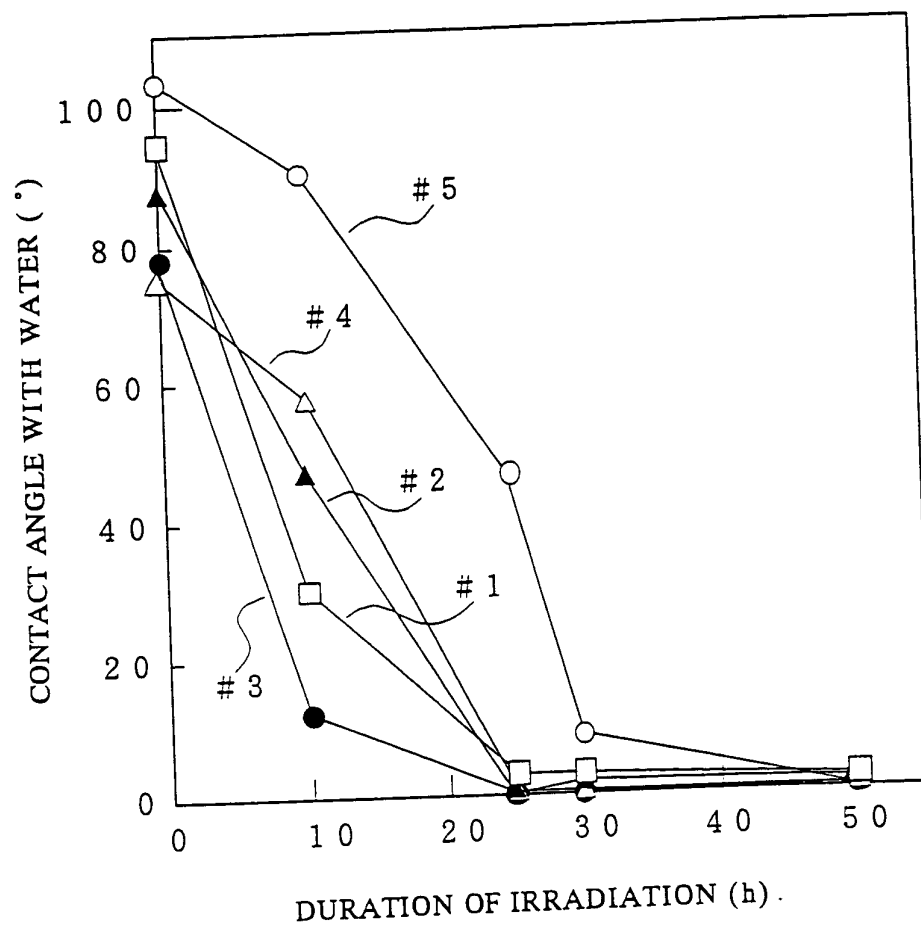
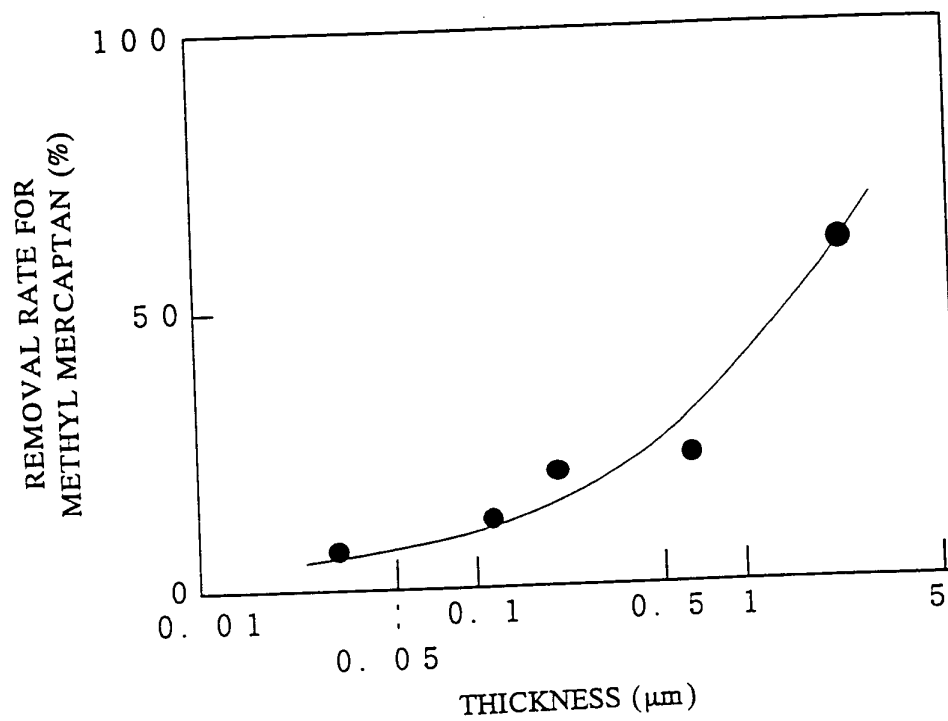


FIG. 9

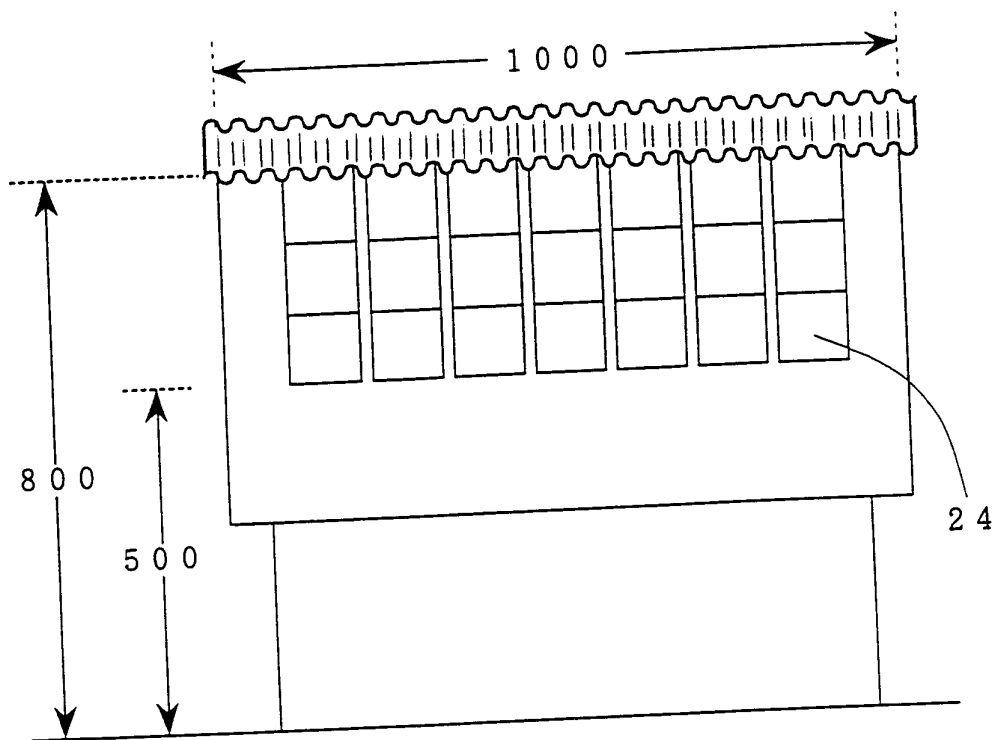




*FIG. 10*



*FIG. 11A*



*FIG. 11B*

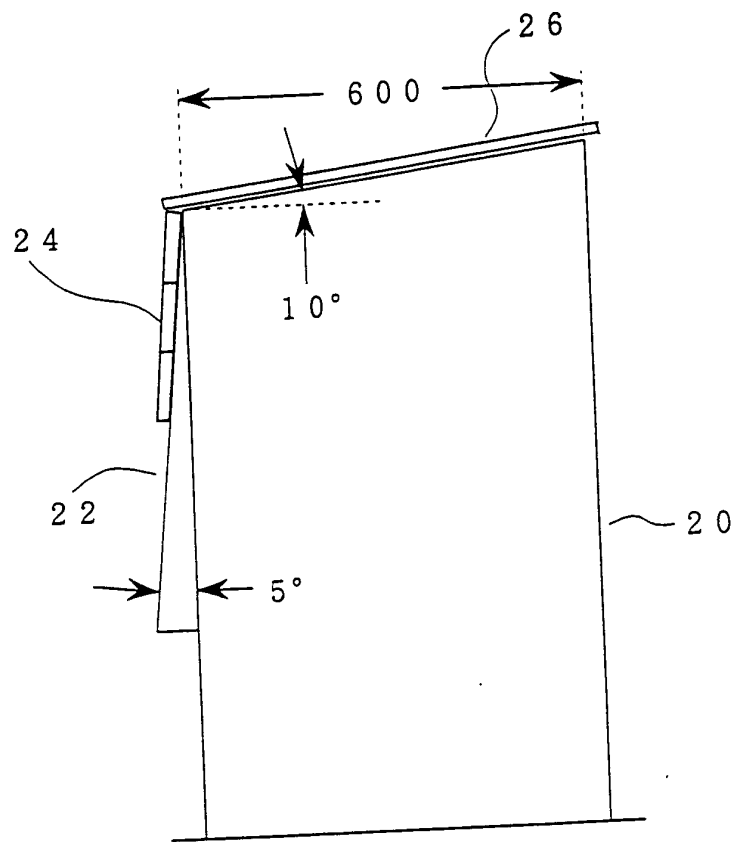


FIG. 12

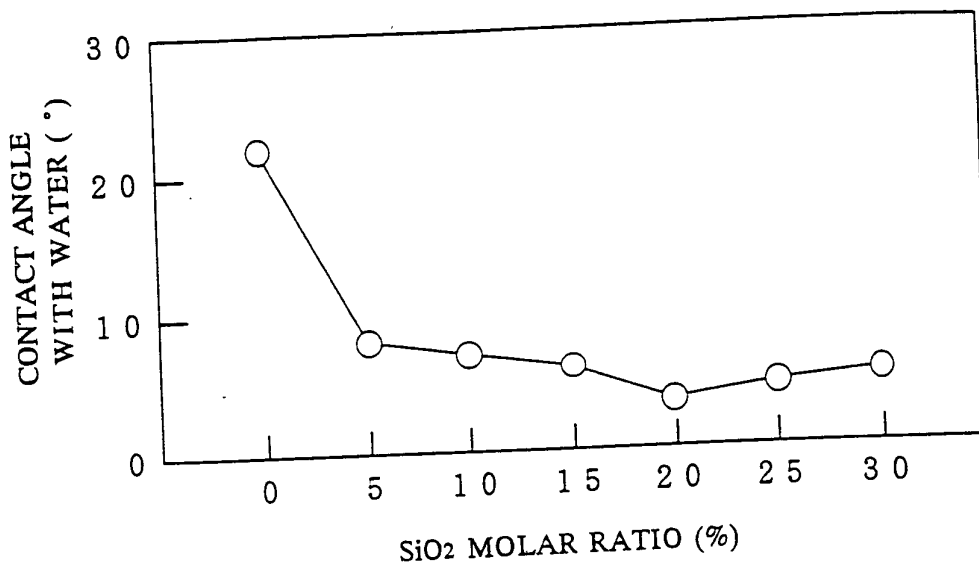
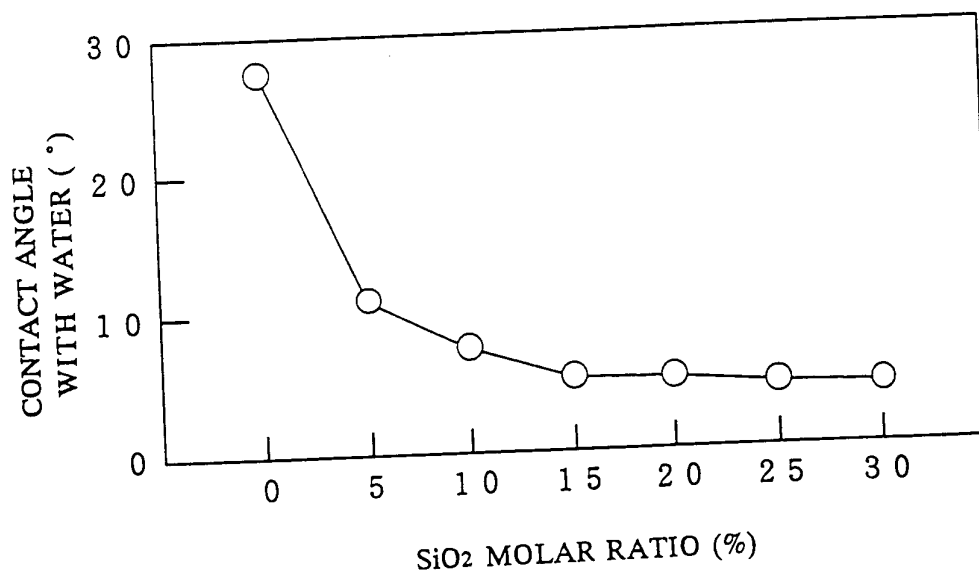
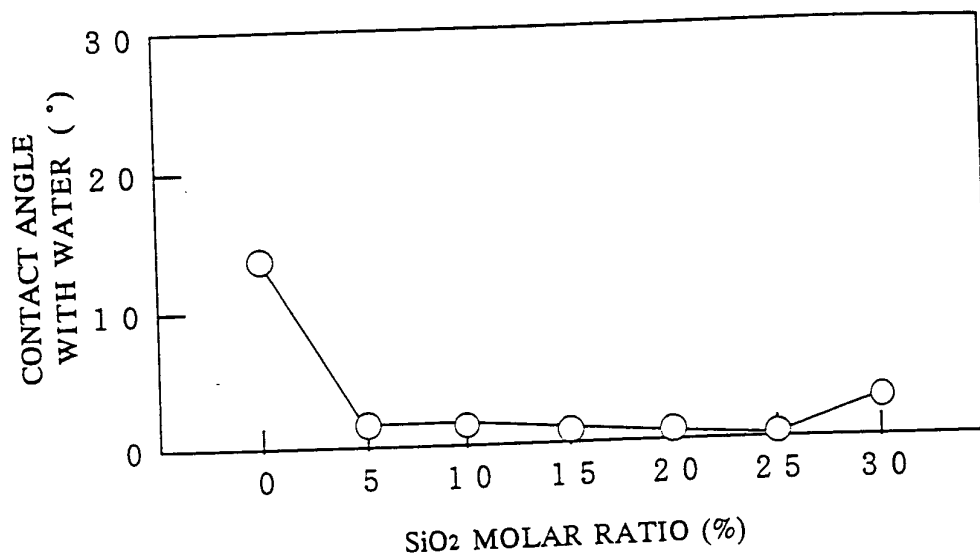


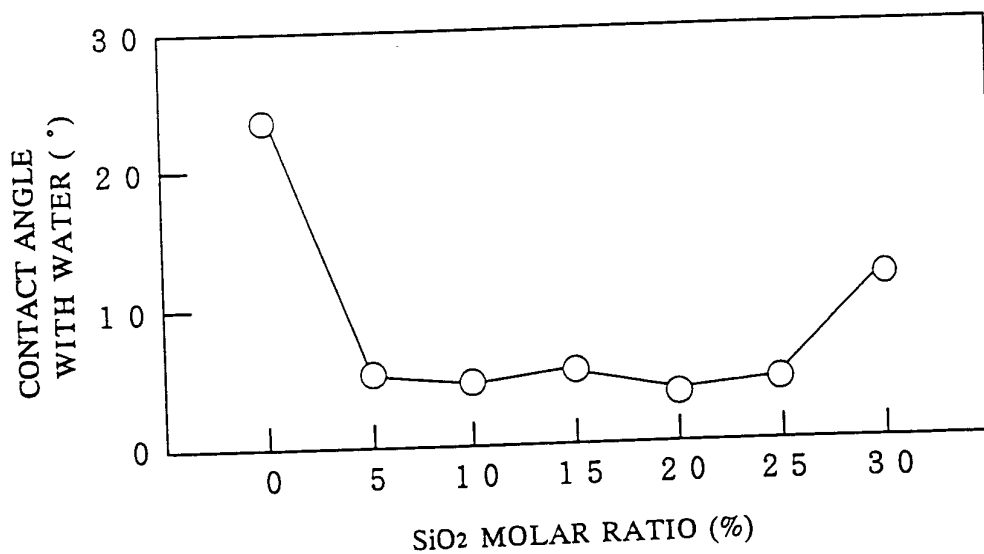
FIG. 13



*FIG. 14*



*FIG. 15*



*FIG. 16*

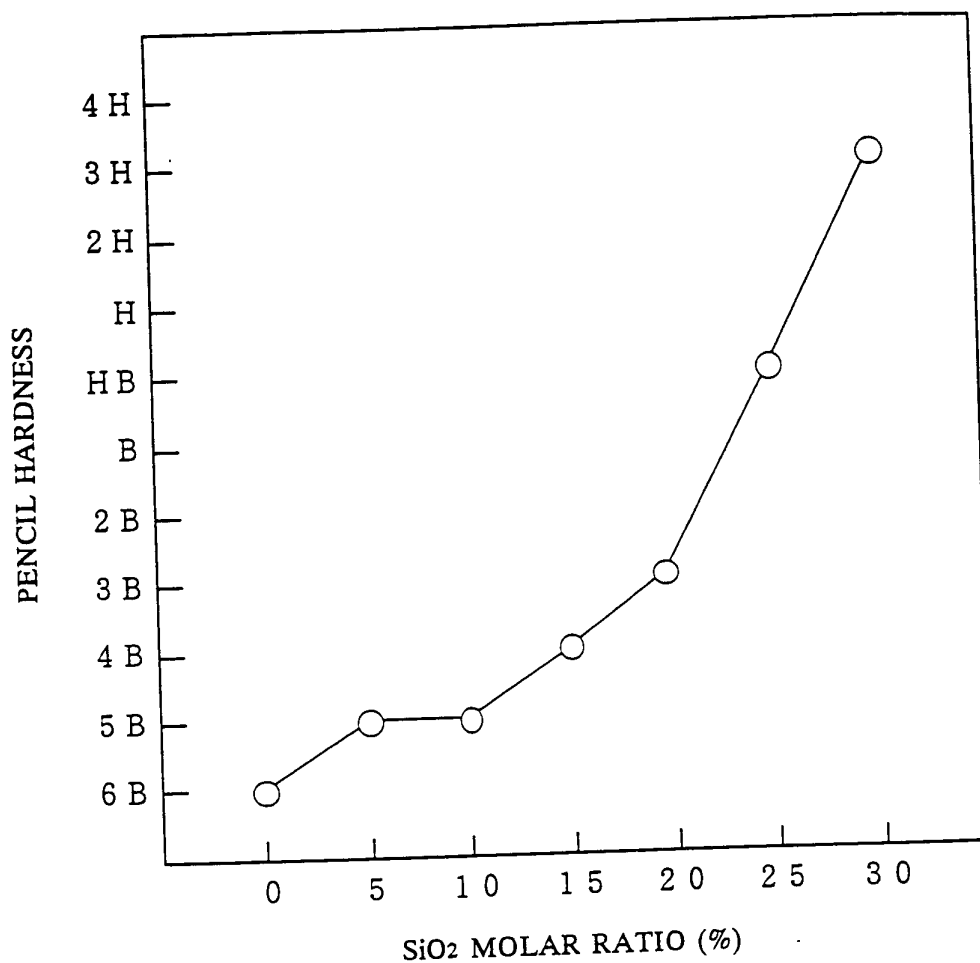


FIG. 17

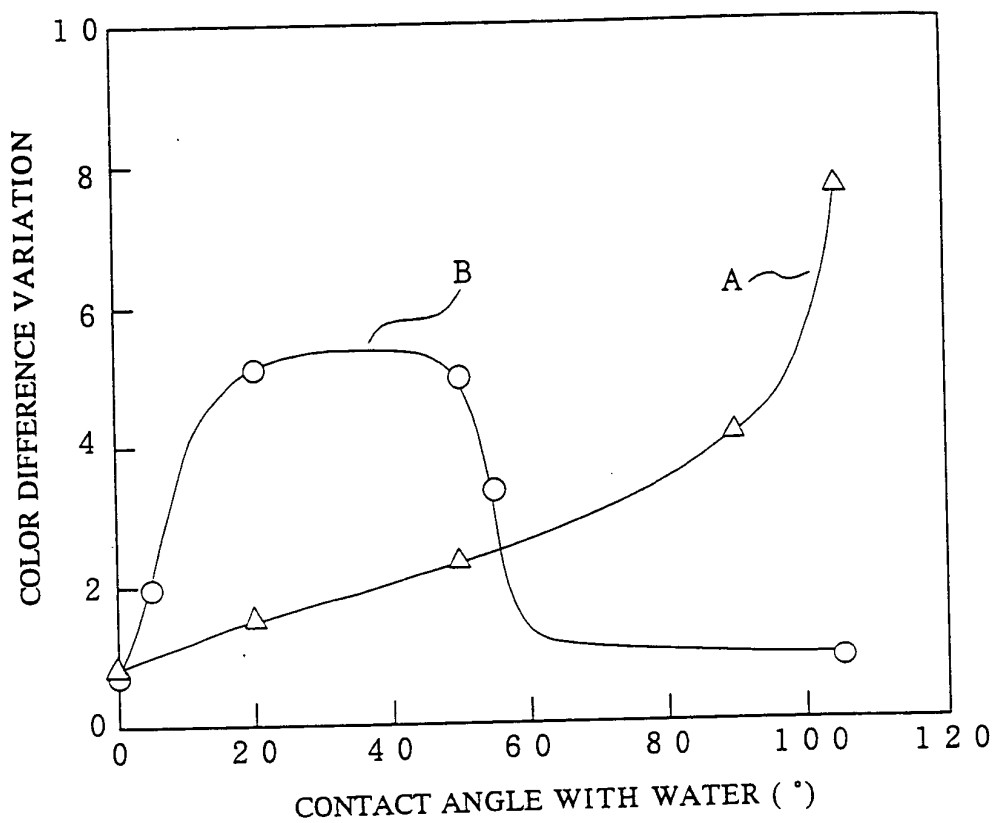


Fig. 18A  
(313 nm)

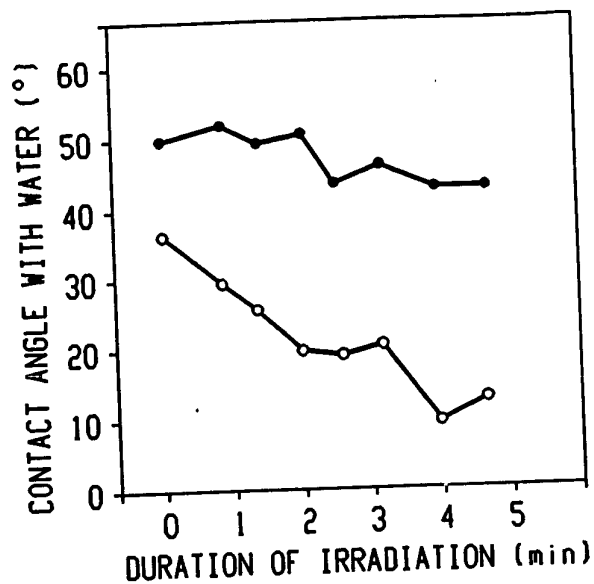


Fig. 18B  
(365 nm)

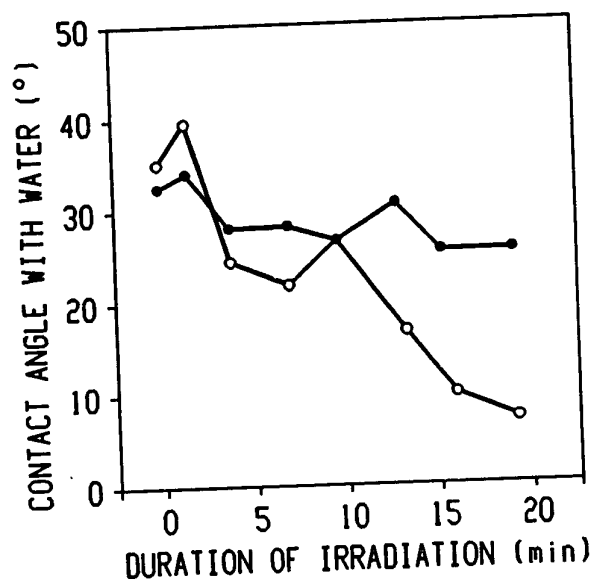
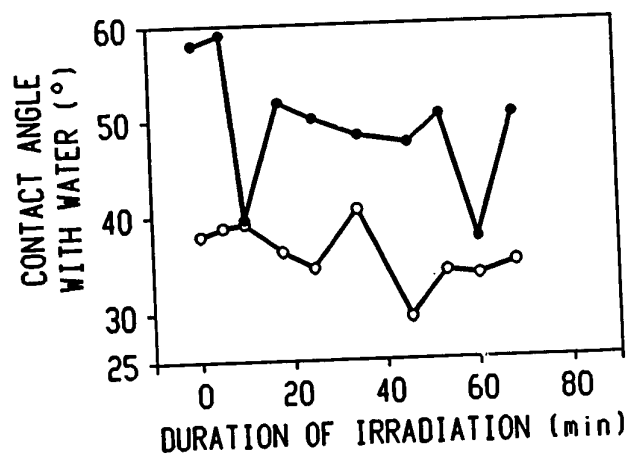
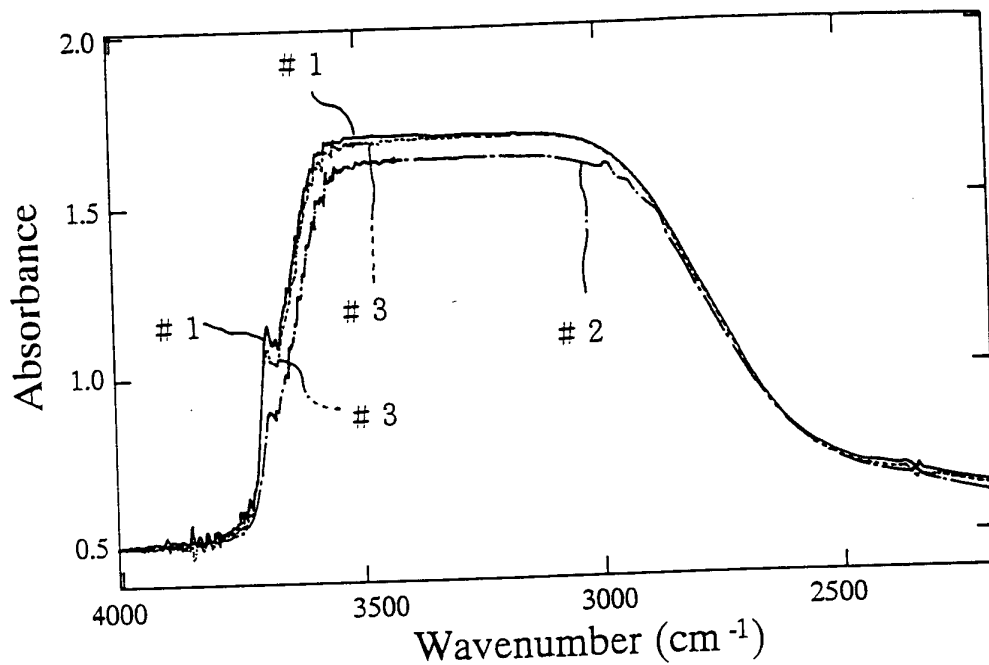


Fig. 18C  
(405 nm)

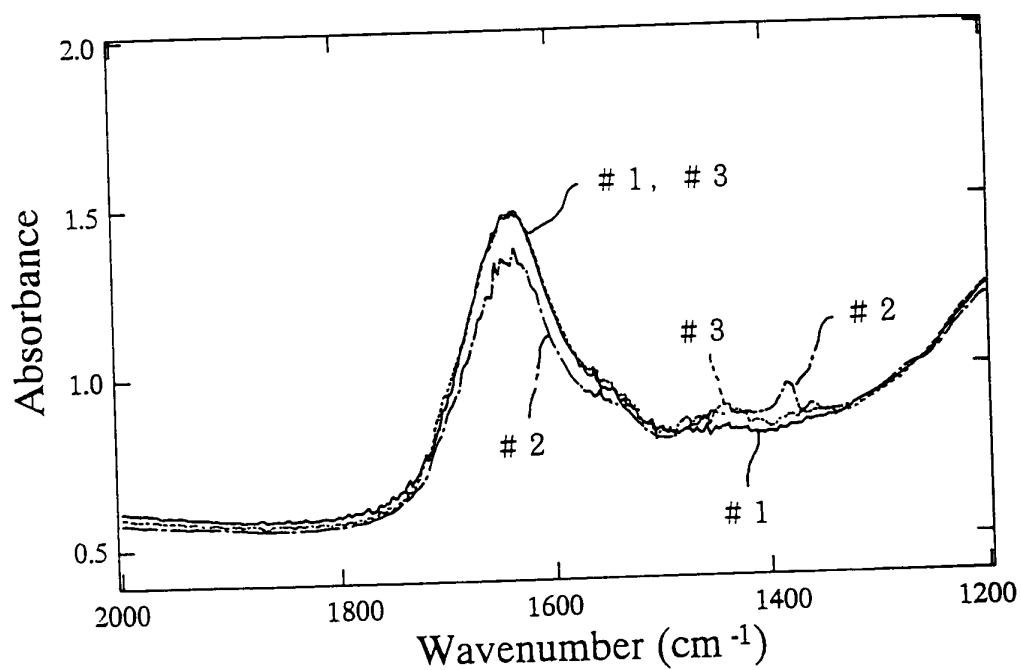




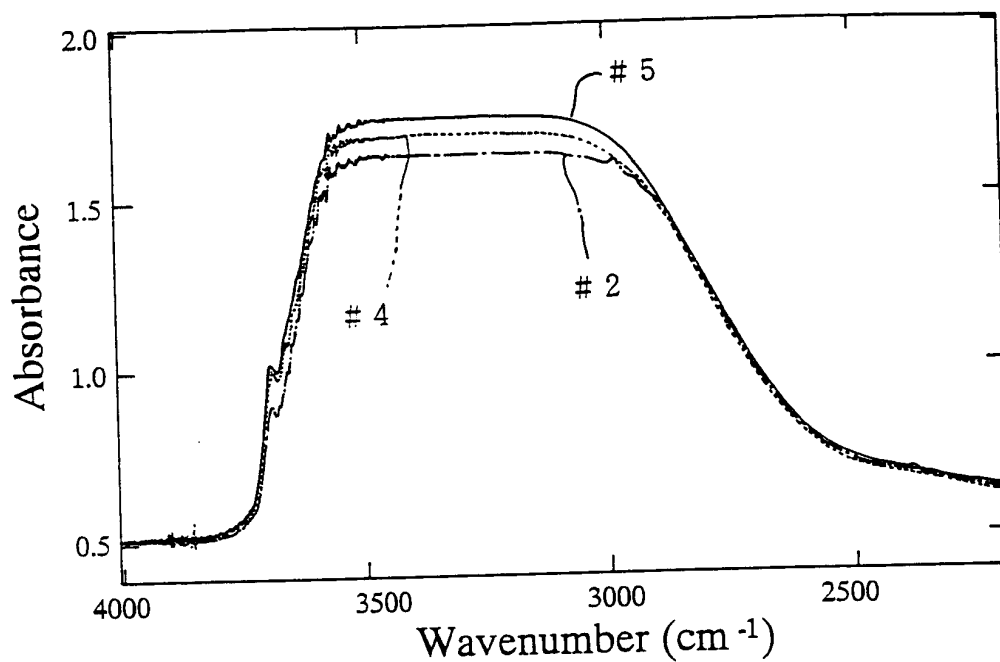
*FIG. 19A*



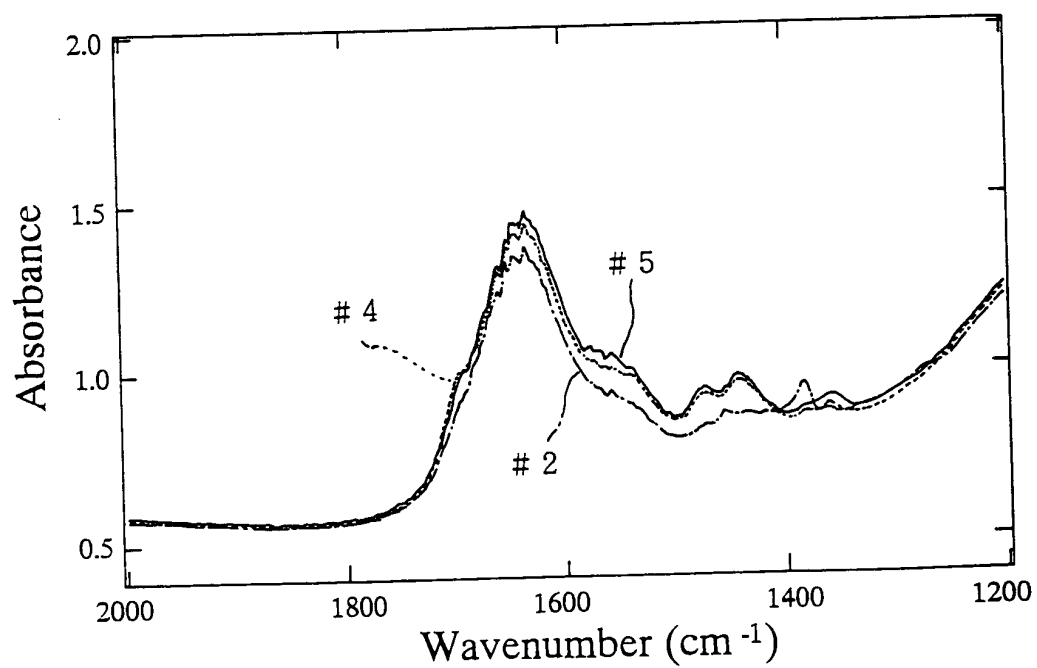
*FIG. 19B*



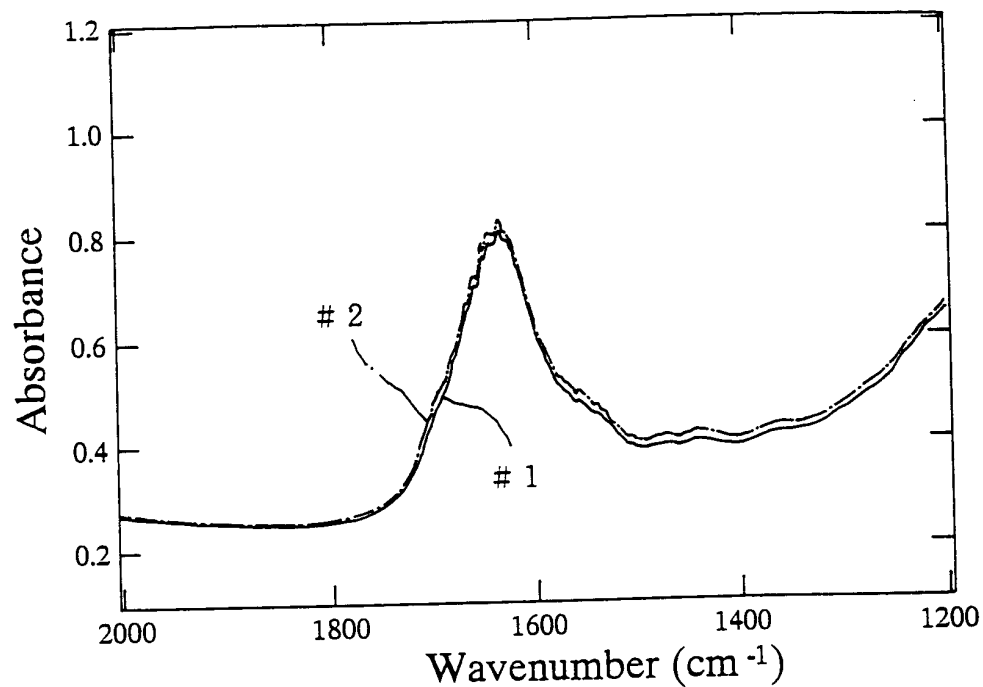
*FIG. 20A*



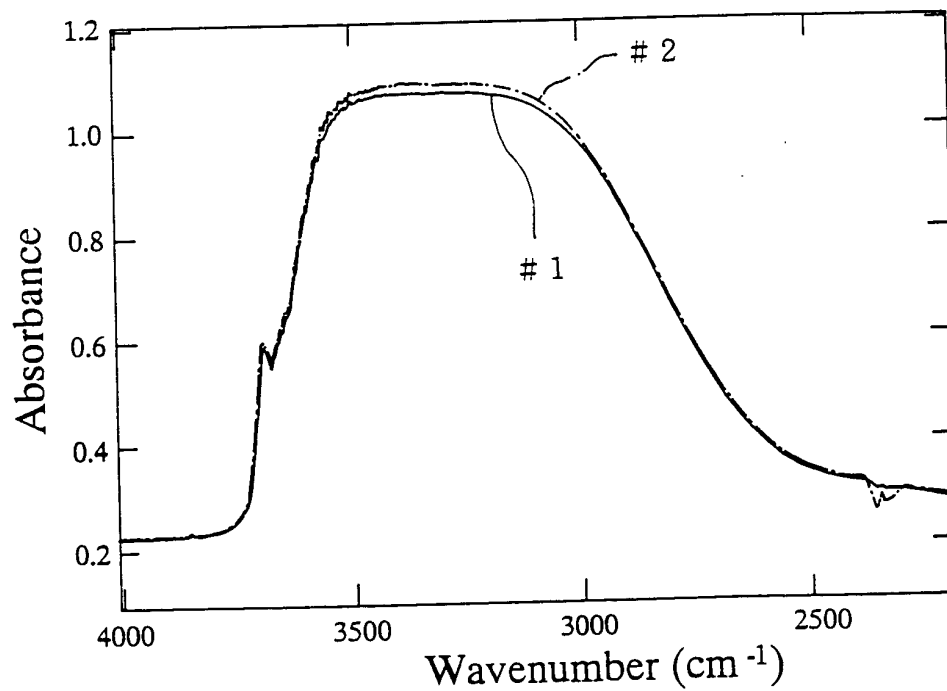
*FIG. 20B*



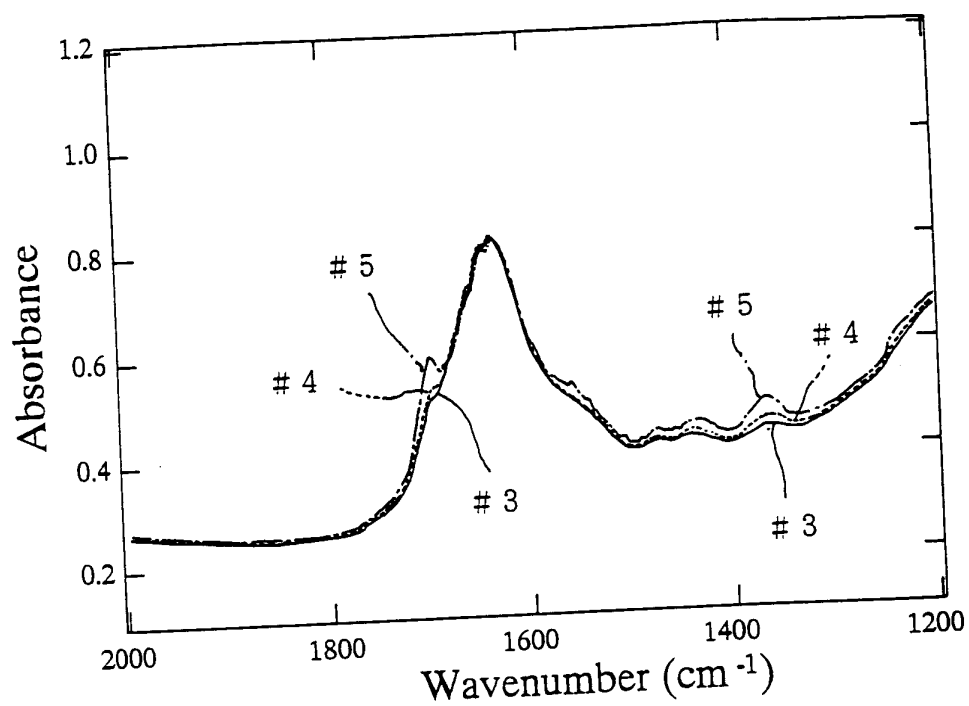
*FIG. 21A*



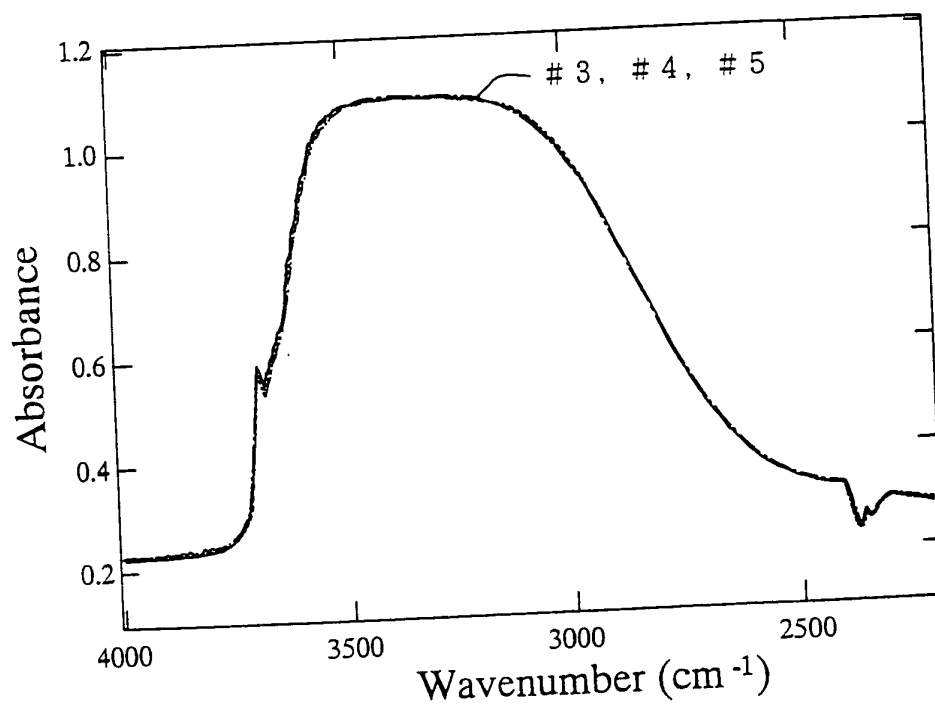
*FIG. 21B*



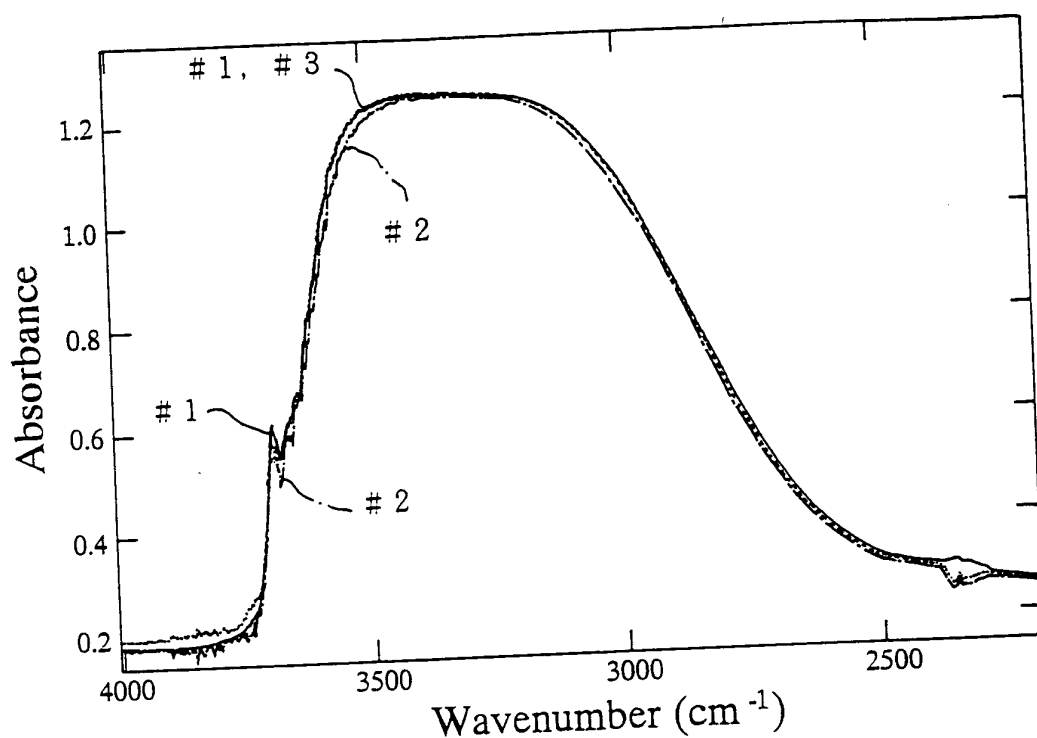
*FIG. 22A*



*FIG. 22B*



*FIG. 23A*



*FIG. 23B*

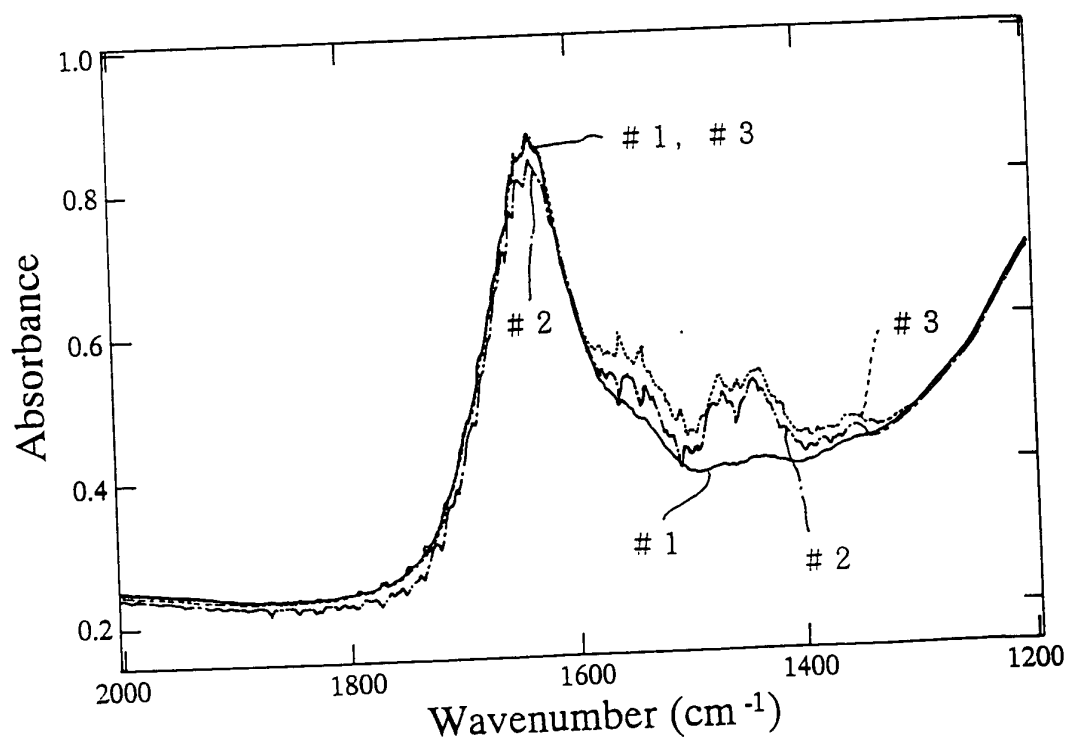


FIG. 24

